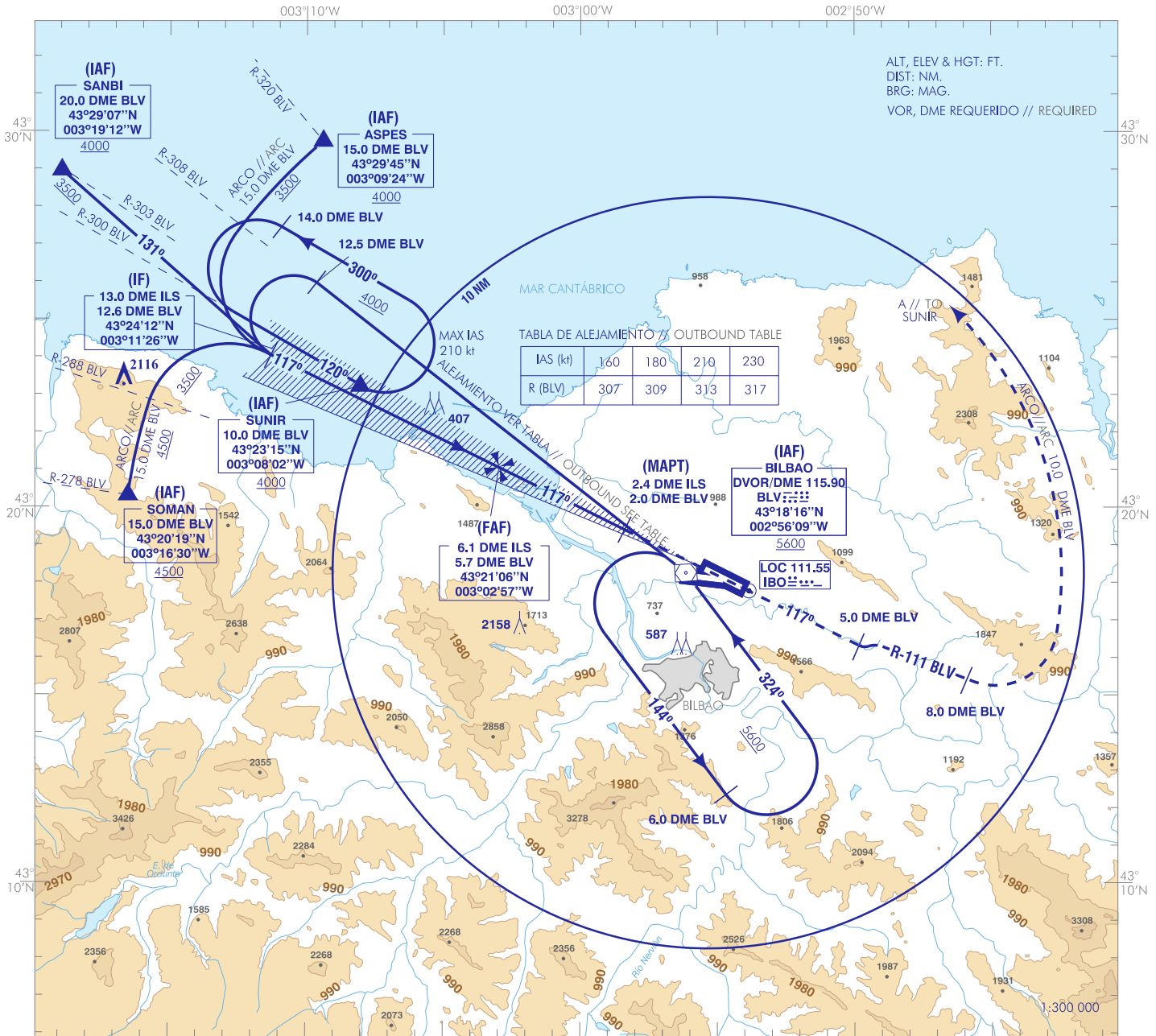


CARTA DE APROXIMACIÓN
POR INSTRUMENTOS-OACI

ELEV AD
136
VAR 0° (2020)

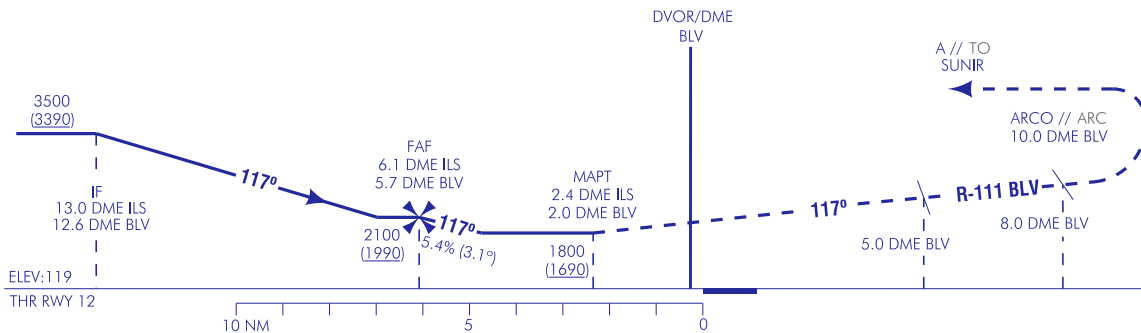
APP 127.450
TWR 118.500
GMC 121.700
ATIS 118.825

BILBAO
LOC Z
RWY 12



FRUSTRADA: SUBIR DIRECTO HASTA 5.0 DME BLV. VIRAR A LA IZQUIERDA PARA SEGUIR R-111 BLV HASTA 8.0 DME BLV. VIRAR A LA IZQUIERDA PARA SEGUIR ARCO 10.0 DME BLV. DIRECTO A SUNIR PARA INTEGRARSE EN LA ESPERA A 4000.

MISSED APCH: CLIMB DIRECT TO 5.0 DME BLV. TURN LEFT TO FOLLOW R-111 BLV UP TO 8.0 DME BLV. TURN LEFT TO FOLLOW ARC 10.0 DME BLV. DIRECT TO SUNIR TO JOIN THE HOLDING AT 4000.

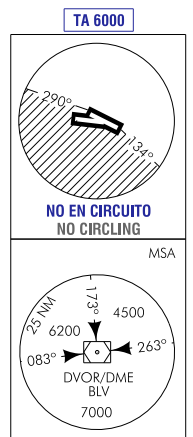


HGT REF ELEV THR RWY 12

OCA/H	A	B	C	D
2.5%		1800 (1690)		
STA				
En círculo (H) sobre Circling (H) over	136	1800 (1670)	1970 (1840)	2110 (1980)

GS	kt	80	100	120	140	160	180
FAF-THR: 6.1 NM	min:s	4:34	3:39	3:02	2:36	2:17	2:02
FAP-MAPT:	min:s	NO AUTORIZADO EL CRONOMETRAJE // TIMING NOT AUTHORIZED					
ROD: 5.4 %	ft/min	434	543	652	760	868	977

ALT/HGT DME (ILS) FNA									
13	12	11	10	9	8	7	6	5	4
							2130 (2010)	1800 (1680)	



CAMBIOS: DECLINACIÓN MAGNÉTICA, RUMBOS Y RADIALES.
CHANGES: MAGNETIC VARIATION, HEADINGS AND RADIALS.

BILBAO AD

REQUISITOS DE LA BASE DE DATOS AERONÁUTICA
 AERONAUTICAL DATABASE REQUIREMENTS

PROCEDIMIENTOS DE APROXIMACIÓN POR INSTRUMENTOS // INSTRUMENT APPROACH PROCEDURES

LOC Z RWY 12

PUNTO POINT	LATITUD LATITUDE	LONGITUD LONGITUDE	AZIMUT VERDADERO TRUE BEARING	DISTANCIA DME DISTANCE DME (NM)
DVOR/DME BLV (IAF)	43°18'15.8"N	002°56'09.2"W	—	—
ASPES (IAF)	43°29'44.6"N	003°09'23.9"W	320.00° (BLV)	15.00 DME BLV
SANBI (IAF)	43°29'07.1"N	003°19'11.6"W	303.00° (BLV)	20.00 DME BLV
SUNIR (IAF)	43°23'15.2"N	003°08'01.8"W	300.00° (BLV)	10.00 DME BLV
SOMAN (IAF)	43°20'19.2"N	003°16'30.4"W	278.00° (BLV)	15.00 DME BLV
IF	43°24'11.6"N	003°11'26.1"W	298.00° (BLV)	12.63 DME BLV
FAF	43°21'06.2"N	003°02'56.7"W	296.66° (LOC IBO)	6.08 DME ILS
MAPT	43°19'26.1"N	002°58'22.4"W	296.66° (LOC IBO)	2.35 DME ILS
Aproximación final de no precisión - Pendiente (Ángulo de descenso) // Non-precision final approach - Slope (Descent angle)				5.36% (3.07°)